

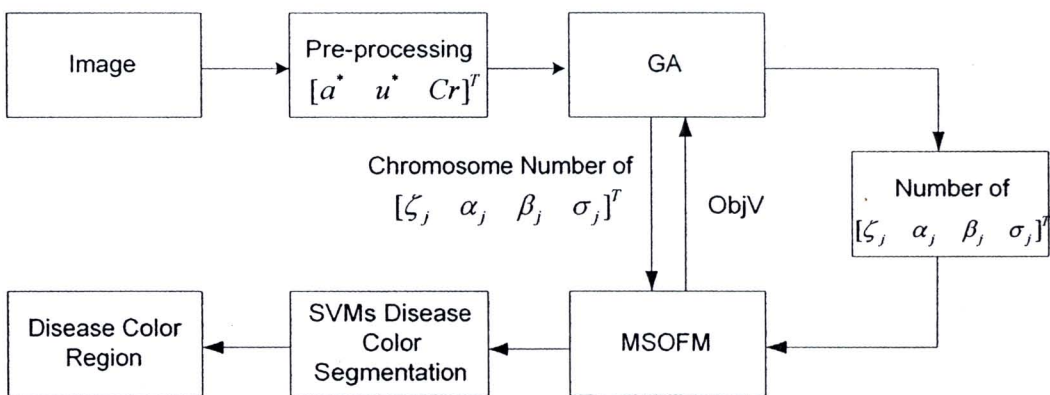
## บทที่ 4

### การคัดแยกสีโรคออกจากใบอ่อน

#### 4.1 กล่าวนำ

จากบทที่ 3 ได้กล่าวถึงการคัดแยกสีใบอ่อนออกจากภาพพื้นหลัง สำหรับขั้นตอนต่อมาคือ การคัดแยกสีโรคออกจากภาพใบอ่อน สำหรับงานวิจัยนี้ได้พิจารณาใช้โครงข่ายประสาทเทียมชนิด แผนผังคุณลักษณะจัดการตัวเองแบบคัดแปร (Modified Self-Organizing Map หรือ MSOFM) สำหรับกระบวนการแบ่งกลุ่มสี เนื่องจากกระบวนการดังกล่าวเป็นกระบวนการแบ่งกลุ่มสีที่ไม่จำเป็นต้องฝึกสอนหรือกำหนดจำนวนกลุ่มเริ่มต้นให้กับระบบและยังสามารถปรับระดับความละเอียดในการแบ่งกลุ่มของข้อมูลภาพสีที่มีระดับความแตกต่างของสีที่ใกล้เคียงกันได้ นอกจากนี้ยังพิจารณากระบวนการหาราค่าที่เหมาะสมที่สุดสำหรับการหาราค่าที่เหมาะสมที่สุดของพารามิเตอร์โครงข่ายประสาทเทียม ชนิดแผนผังคุณลักษณะจัดการตัวเองแบบคัดแปร ในกระบวนการปรับระดับความละเอียดการแบ่งกลุ่มสีที่เหมาะสมในแต่ละภาพ ด้วยกระบวนการของจีโนทิกอัลกอริทึม (Genetic Algorithm หรือ GA) และทำการพิจารณาการคัดแยกสีโรคออกจากใบอ่อนด้วยเครื่องเวกเตอร์เกื้อหนุน (Support Vector Machines หรือ SVMs) ดังรายละเอียดต่อไปนี้

#### 4.2 โครงสร้างการคัดแยกสีโรคออกจากใบอ่อน



รูปที่ 4.1 โครงสร้างการคัดแยกสีโรคออกจากภาพใบอ่อน

การทำงานหลักของกระบวนการนี้จะแบ่งเป็นสองส่วนหลัก คือ การแบ่งกลุ่มด้วย MSOFM ร่วมกับการค้นหาแบบจีนแนดิคอลอเรทีม ในการหาค่าเหมาะสมที่สุดของพารามิเตอร์ของช่วงข่าย ประมาณที่บันทึกแผนผังคุณลักษณะจัดการตัวเองแบบดั้ดแปร ซึ่งประกอบด้วย  $\alpha$ ,  $\beta$ ,  $\sigma^r$  โดยพารามิเตอร์  $\alpha$  คือค่าความไวระยะห่างระหว่างกลุ่มสี พารามิเตอร์  $\alpha$  คือค่าความไวในการแบ่งกลุ่มของสี  $a^*$  พารามิเตอร์  $\beta$  คือค่าความไวในการแบ่งกลุ่มของสี  $b^*$  และพารามิเตอร์  $\sigma$  คือค่าความไวในการแบ่งกลุ่มของสี  $C_r$  ซึ่งจะอธิบายรายละเอียดกระบวนการทำงานของช่วงข่ายประมาณที่บันทึกแผนผังคุณลักษณะจัดการตัวเองแบบดั้ดแปร ร่วมกับจีนแนดิคอลอเรทีมต่อไปและการคัดแยกส่วนที่เป็นโรคของใบอ่อนุ่งด้วยเครื่องตรวจเดอร์เก็อทันซึ่งผ่านการฝึกสอนด้วยกลุ่มที่เป็นโรคและกลุ่มที่ไม่เป็นโรคซึ่งผ่านการแบ่งกลุ่มด้วยโคงข่ายประมาณที่บันทึกแผนผังคุณลักษณะจัดการตัวเองแบบดั้ดแปร ดังแสดงในรูปที่ 4.1

#### 4.3 กระบวนการประมวลผลก่อน

เนื่องจากในการคัดแยกสีโรคด้วยกระบวนการแบ่งกลุ่มด้วยโคงข่ายประมาณที่บันทึกแผนผังคุณลักษณะจัดการตัวเองแบบดั้ดแปรต้องการลดข้อผิดพลาดของข้อมูลส่วนที่เป็นของที่ทำการคัดแยกสีในอ่อนุ่งออกจากภาพพื้นหลัง ดังนั้นในกระบวนการปรับปรุงภาพจึงต้องทำการลบข้อภาพเพื่อให้คงเหลือข้อมูลที่เป็นจุดโรคสำหรับการวิเคราะห์โรคที่มีประสิทธิภาพ โดยนำภาพที่ทำการคัดแยกสีในอ่อนุ่งออกจากภาพพื้นหลังมาทำการแปลงเป็นภาพขาวดำและจากนั้นจึงทำการแปลงภาพขาวดำที่มีค่าเป็น 1 และ 0 ให้มีค่าเป็น 0 และ 1 และทำการปรับปรุงภาพด้วยตัวกรองค่าผ่านแบบเกาส์เชียน (gaussian filter) โดยขอบของภาพที่ผ่านตัวกรองจะเบลอ ซึ่งส่วนที่เบลอหนึ่นจะเกินเข้าไปในบริเวณของภาพ งานนี้จึงพิจารณาข้อมูลการลบของภาพด้วยขีดเริ่มเปลี่ยน ซึ่งถ้าข้อมูลที่พิจารณาไม่ค้านอยกว่าขีดเริ่มเปลี่ยนจะพิจารณาให้เป็น 1 และถ้าข้อมูลที่พิจารณาไม่ค้านมากกว่าขีดเริ่มเปลี่ยนจะพิจารณาให้เป็น 0 และทำการแยกกับภาพที่ทำการคัดแยกสีในอ่อนุ่งออกจากภาพพื้นหลังจึงเป็นผลให้บริเวณของภาพหายไป ดังแสดงในรูปที่ 4.2

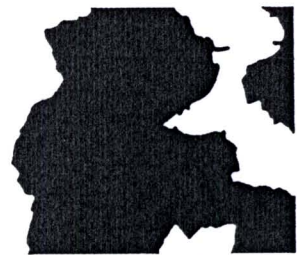
และเนื่องจากในงานวิจัยนี้ต้องการคัดแยกส่วนที่เป็นสีโรค โดยทำการลดผลกระทบของสภาวะการเปลี่ยนแปลงของแสงในการพิจารณาการคัดแยกสีโรค ดังนั้นหลังจากผ่านกระบวนการลบของใบอ่อนุ่นแล้วจึงพิจารณาใช้ปริภูมิสีแบบ CIE L\*a\*b CIE L\*u\*v และ YCbCr ในการดึงความแตกต่างของคุณลักษณะเด่นระหว่างสีของโรคและสีของใบอ่อนุ่นให้มากที่สุด โดยเลือกค่า  $a_b$  และ  $C_r$  เนื่องจากให้ผลตอบสนองของระหว่างสีโรคและสีใบอ่อนุ่นได้ดีที่สุด ดังแสดงในรูปที่ 4.3 จากนั้นจึงนำข้อมูลสีที่ได้ไปทำการประมวลในระดับขั้นต่อไป



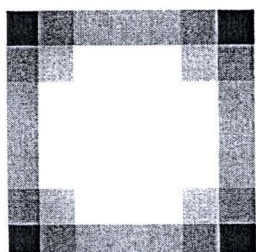
(ก) ภาพต้นแบบ



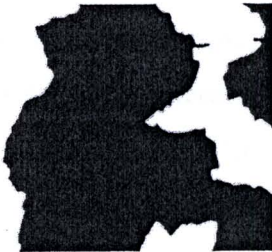
(ข) การแปลงเป็นภาพขาวดำ



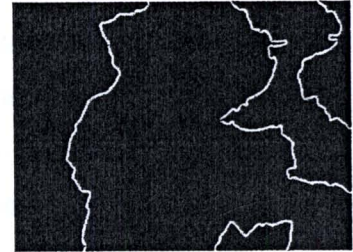
(ค) แปลงภาพขาวดำที่มีค่าเป็น 1 และ 0 ให้มีค่าเป็น 0 และ 1



(ง) ตัวกรองต่ำผ่านเกาส์เชียน



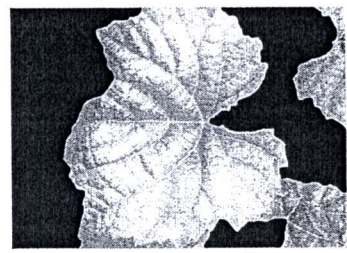
(จ) ภาพที่ผ่านตัวกรอง



(ฉ) ผลต่างของภาพ (ค), (จ)

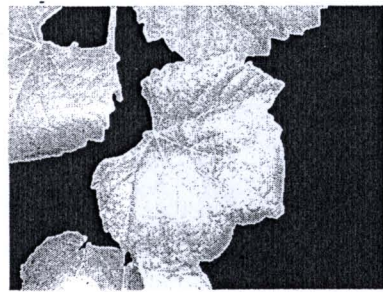


(ช) การลบขอบภาพ

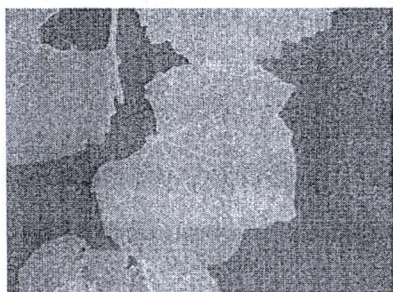
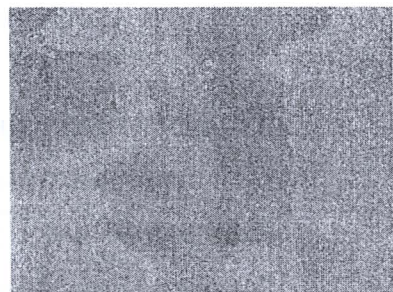


(ช) ผลการลบขอบในอุ่นออกจากภาพ

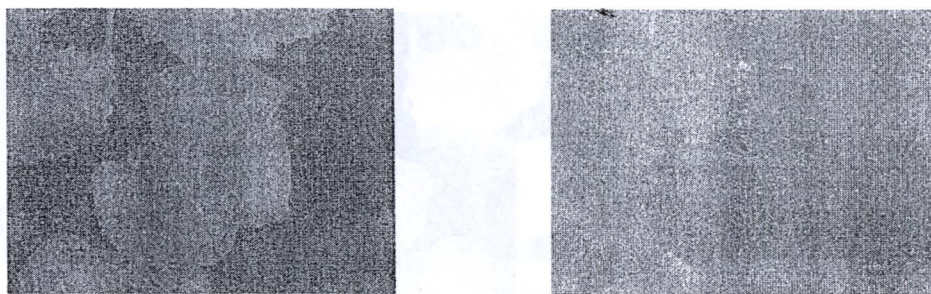
รูปที่ 4.2 การลบขอบในอุ่นออกจากภาพ



(ก) ภาพด้านบน

(ข) แปลงปริภูมิสีจาก RGB เป็น CIE  
 $L^*a^*b$ (ค) ช่อง  $a^*$  ของปริภูมิสี CIE  $L^*a^*b$ (ง) แปลงปริภูมิสีจาก RGB เป็น CIE  
 $L^*u^*v$ (จ) ช่อง  $u^*$  ของปริภูมิสี CIE  $L^*u^*v$ 

รูปที่ 4.3 การแปลงปริภูมิสีสำหรับการคัดแยกสีโรคของใบอุ่น



(a) แปลงปริภูมิสีจาก RGB เป็น YCbCr

(b) ช่อง Cr ของปริภูมิสี YCbCr

รูปที่ 4.3 การแปลงปริภูมิสีสำหรับการคัดแยกสีโภคของใบอ่อน (ต่อ)

#### 4.4 กระบวนการแบ่งกลุ่มสีโภคออกจากใบอ่อน

กระบวนการแบ่งกลุ่มสีสำหรับงานวิจัยนี้เป็นกระบวนการแบ่งกลุ่มที่ไม่จำเป็นต้องมีการฝึกสอนหรือกำหนดจำนวนกลุ่มเริ่มต้นให้กับระบบ นอกจากนี้ยังสามารถปรับระดับความละเอียดในการแบ่งกลุ่มของข้อมูลภาพสีที่มีระดับความแตกต่างของสีใกล้เคียงกันได้กระบวนการดังกล่าว เป็นกระบวนการแบ่งกลุ่มด้วยวิธีการของโครงข่ายประสาทเทียมชนิดแผนผังคุณลักษณะจัดการ ตัวเองแบบตัดแปร (Modified Self-Organizing Map หรือ MSOFM) นำเสนอโดย Doungchatom, et al. (2007) ซึ่งจะต้องทำการกำหนดพารามิเตอร์ของ MSOFM ซึ่งพารามิเตอร์ของ MSOFM นั้นเป็น ตัวกำหนดความสามารถในการปรับระดับความละเอียดในการแบ่งกลุ่มของข้อมูลภาพสีที่มีระดับความแตกต่างของสีใกล้เคียงกัน จากนั้น MSOFM จะทำการปรับค่าน้ำหนักประสาทจนกระทั่งได้ค่าน้ำหนักประสาทที่เหมาะสมที่สุดที่สามารถใช้แทนกลุ่มข้อมูลได้ ดังรายละเอียดดังต่อไปนี้

กระบวนการทำงานของ MSOFM จะต้องทำการกำหนดจำนวนเวกเตอร์น้ำหนักประสาทเริ่มต้น 1 ค่านั้นคือ  $H$ , เมื่อโครงข่ายได้รับอินพุตชุดใหม่ระบบจะทำการเปรียบเทียบกับเวกเตอร์น้ำหนักประสาทที่มีอยู่ในระบบอยู่แล้ว ผลจากการเปรียบเทียบจะเป็นตัวคัดสินใจในการกระทำ 2 อย่าง ได้แก่

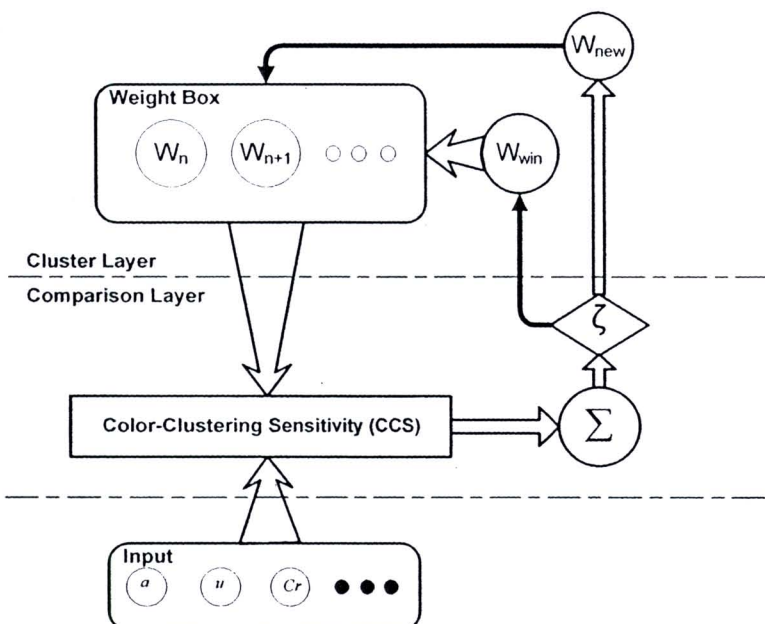
1) ถ้าอินพุตไม่มีความใกล้เคียงเพียงพอ กับกลุ่มน้ำหนักประสาทที่มีอยู่ ระบบจะกำหนดให้มีน้ำหนักประสาทชุดใหม่สำหรับอินพุตนี้

2) ถ้าอินพุตมีความใกล้เคียงกับน้ำหนักประสาทที่มีอยู่แล้ว ในระบบ ระบบจะทำการปรับปรุงน้ำหนักประสาทที่ใกล้เคียงกับอินพุตใหม่ให้มากที่สุดแต่เพียงชุดเดียว ซึ่งเป็นหลักการของการเรียนรู้แบบแบ่งชั้นแบบผู้ชนะได้หมด (winner-take-all) เมื่อระบบทำการคัดแยกอินพุตทั้งหมด เรียนรู้อยแล้ว ขั้นตอนต่อไปจะเป็นการจัดแบ่งกลุ่มให้กับน้ำหนักประสาทในระบบที่คาดว่าจะเป็นตัวแทนของข้อมูลสีเดียวกัน

พิจารณาโครงสร้างโครงข่ายในรูปที่ 4.4 ในชั้นแรกเป็นชั้นอินพุต (input layer) ซึ่งรูปแบบของอินพุตที่ใช้ในที่นี้คือ

$$\lambda = [a_j \quad u_j \quad Cr_j]^T \quad (0.1)$$

- โดยที่  $a_j$  คือ ช่อง  $a^*$  ของปริภูมิสี CIE L\*a\*b  
 $u_j$  คือ ช่อง  $u^*$  ของปริภูมิสี CIE L\*u\*v  
 $Cr_j$  คือ ช่อง Cr ของปริภูมิสี YCbCr  
 $j$  คือ  $1, 2, 3, \dots, N$



รูปที่ 4.4 โครงสร้างของแผนผังคุณลักษณะการจัดการตัวเองแบบดักเบปร<sup>(1)</sup>

หมายเหตุ :<sup>(1)</sup> จาก “Modified Self-Organizing Map for Optical Flow Clustering System,” โดย Doungchatom,B., Kumsawat,P. ,Attakitmongkol ,K. and A.Srikeaw, 2007, Proceedings of the 7<sup>th</sup> WSEAS International Conference on Signal, Speech and Image Processing, 61-69.

หลังจากทำการเตรียมชุดข้อมูลอินพุตแล้ว โครงข่ายจะทำการพิจารณาอินพุตแต่ละชุดมาเปรียบเทียบ (matching) กับค่าน้ำหนักประจำ  $W_n$ ,  $n = 1, 2, 3, \dots$  ขั้นตอนดังกล่าวจะเกิดขึ้นในชั้นเปรียบเทียบ (comparison layer) โดยระดับของการเปรียบเทียบจะถูกกำหนดด้วยเวลาครอกร์ความไว

ในการจัดกลุ่ม (clustering sensitivity:  $\hat{S}_{CS}$ ) และการเปรียบเทียบจะทำการพิจารณาจากระยะทางแบบยุคลิดเดียน (euclidean distance) ของอินพุตเวกเตอร์และน้ำหนักประสาทหรือ  $|W_n - \lambda_j|$  และจะได้ค่าตัดสินใจในการแบ่งกลุ่ม ( $\mu$ ) ของแต่ละ  $W_n$  คือ

$$\mu = |\hat{S}_{CS} \cdot (W_n - \lambda_j)| \quad (0.2)$$

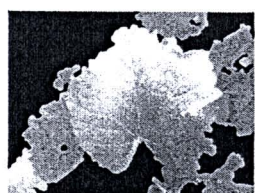
$$\hat{S}_{CS} = [\alpha_j \quad \beta_j \quad \sigma_j]^T \quad (0.3)$$

- โดยที่  $\alpha_j$  คือ ค่าความไวของช่องปริภูมิสี a\*  
 $\beta_j$  คือ ค่าความไวของช่องปริภูมิสี b\*  
 $\sigma_j$  คือ ค่าความไวของช่องปริภูมิสี Cr

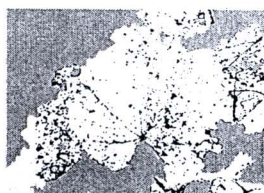
กำหนดให้น้ำหนักประสาทชุดที่  $m$  เป็นน้ำหนักประสาทที่ชนะการเปรียบเทียบ โดยค่า  $\mu$  ที่น้อยที่สุด และจะถูกนำไปใช้ในชั้นน้ำหนักประสาท (weight layer) ซึ่งทำการเปรียบเทียบค่า  $\mu$  กับค่าพารามิเตอร์สอดคล้อง  $\zeta$  โดยถ้าค่า  $\mu > \zeta$  แสดงว่าอินพุตที่เข้ามาไม่ใกล้เคียงกับน้ำหนักประสาท หรือกลุ่มอินพุตใด ๆ ที่มีอยู่ในระบบจึงทำการสร้างน้ำหนักประสาทใหม่ขึ้นมารองรับอินพุตดังกล่าว ซึ่งน้ำหนักประสาทตัวใหม่จะมีค่าเท่ากับอินพุตนี้หรือ  $W_{n+1} = \lambda_j$  นั่นเอง แต่ถ้าค่า  $\mu < \zeta$  แสดงว่า  $\lambda_j$  มีความใกล้เคียงกับ  $W_m$  เพียงพอที่จะไม่ต้องสร้างน้ำหนักประสาทกลุ่มใหม่จึงปรับค่าน้ำหนักประสาทที่ชนะ  $W_m$  ด้วยความสัมพันธ์  $W_m = W_m + \eta [W_m - \lambda_j]$  เมื่อ  $\eta$  คือค่าคงที่การเรียนรู้ (learning constant) ระบบการคัดแยกกลุ่มตีจงทำไปจนถึงข้อมูลชุดสุดท้ายคือ  $\lambda_N$

ในลำดับต่อมาพิจารณาผลของการพารามิเตอร์ MSOFM ซึ่งประกอบด้วย  $[\zeta \quad \alpha \quad \beta \quad \sigma]^T$  สำหรับการปรับระดับความละเอียดในการแบ่งกลุ่มของข้อมูลภาพสีที่มีระดับความแตกต่างของสีใกล้เคียงกัน โดยทำการพิจารณาพารามิเตอร์  $\zeta$  ซึ่งเป็นพารามิเตอร์ความไวระหว่างระหว่างกลุ่มสี ซึ่งถ้าทำการออกแบบค่าพารามิเตอร์  $\zeta$  ที่มีค่ามากเป็นผลให้ค่าความไวระหว่างระหว่างกลุ่มสี กว้างมาก ทำให้ MSOFM ทำการแบ่งกลุ่มได้น้อยลง ดังแสดงในรูปที่ 4.5 (ว) ในขณะเดียวกันถ้าทำการออกแบบค่าพารามิเตอร์  $\zeta$  ที่มีค่ามากเป็นผลให้ค่าความไวระหว่างระหว่างกลุ่มสีลดลง ทำให้ MSOFM ทำการแบ่งกลุ่มได้ละเอียดมากขึ้นหรือแบ่งกลุ่มได้มากขึ้นดังแสดงในรูปที่ 4.5 (ค) และเมื่อทำการพิจารณาพารามิเตอร์  $\alpha$  ซึ่งเป็นพารามิเตอร์ของความไวในการแบ่งกลุ่มสี a\* ซึ่งถ้าทำการออกแบบค่าพารามิเตอร์  $\alpha$  ที่มีค่ามากเป็นผลให้ MSOFM สามารถทำการแบ่งกลุ่มสีได้มากขึ้นหรือมีความไวในการแบ่งกลุ่มสี a\* มากขึ้น ดังแสดงในรูปที่ 4.5 (ง) ใน

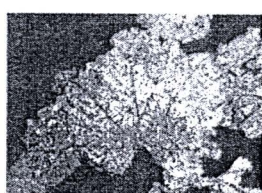
ขณะเดียวกันถ้าทำการออกแบบค่าพารามิเตอร์  $\alpha$  ที่มีค่าน้อยเป็นผลให้ MSOFM สามารถทำการแบ่งกลุ่มสีได้น้อยลงหรือมีความไวในการแบ่งกลุ่มสี  $a^*$  ลดลง ดังแสดงในรูปที่ 4.5 (จ) และเมื่อทำการพิจารณาพารามิเตอร์  $\beta$  ซึ่งเป็นพารามิเตอร์ความไวในการแบ่งกลุ่มสี  $a^*$  ซึ่งถ้าทำการออกแบบค่าพารามิเตอร์  $\beta$  ที่มีค่ามากเป็นผลให้ MSOFM สามารถทำการแบ่งกลุ่มสีได้มากขึ้นหรือมีความไวในการแบ่งกลุ่มสี  $a^*$  มาจากขั้น ดังแสดงในรูปที่ 4.5 (ช) ในขณะเดียวกันถ้าทำการออกแบบค่าพารามิเตอร์  $\beta$  ที่มีค่ามากเป็นผลให้ MSOFM สามารถทำการแบ่งกลุ่มสีได้น้อยลงหรือความไวในการแบ่งกลุ่มสี  $b^*$  ลดลง ดังรูปที่ 4.5 (ช) และเมื่อทำการพิจารณาพารามิเตอร์  $\sigma$  ซึ่งเป็นพารามิเตอร์ความไวในการแบ่งกลุ่มสี  $Cr$  ซึ่งถ้าทำการออกแบบค่าพารามิเตอร์  $\sigma$  ที่มีค่ามากเป็นผลให้ MSOFM สามารถทำการแบ่งกลุ่มสีได้มากขึ้นหรือมีความไวในการแบ่งกลุ่มสี  $Cr$  มาจากขั้น ดังแสดงในรูปที่ 4.5 (ด) ในขณะเดียวกันถ้าทำการออกแบบค่าพารามิเตอร์  $\sigma$  ที่มีค่าน้อยเป็นผลให้ MSOFM สามารถแบ่งกลุ่มสีได้น้อยลงหรือมีความไวในการแบ่งกลุ่มสี  $Cr$  ลดลง ดังแสดงในรูปที่ 4.5 (ต) ซึ่งสีภายในภาพแสดงถึงการแบ่งกลุ่มสีในแต่ละกลุ่ม



(ก) ภาพต้นแบบ



(ข) ผลการแบ่งกลุ่มสีของ MSOFM จำนวน 2

กลุ่มสีที่  $\zeta = 1.2, \alpha = 2, \beta = 2, \sigma = 2$ 

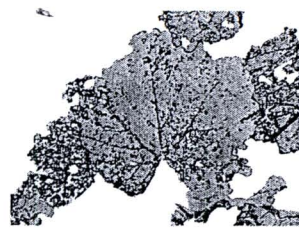
(ค) ผลการแบ่งกลุ่มสีของ MSOFM จำนวน 127

กลุ่มสีที่  $\zeta = 0.07, \alpha = 2, \beta = 2, \sigma = 2$ 

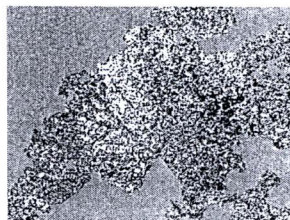
รูปที่ 4.5 ตัวอย่างการแบ่งกลุ่มสีตามจำนวนกลุ่มสีของ MSOFM



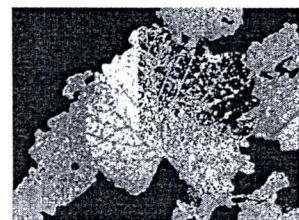
(ก) ผลการแบ่งกลุ่มสีของ MSOFM จำนวน 35  
กลุ่มสีที่  $\zeta = 0.2, \alpha = 5, \beta = 2, \sigma = 2$



(จ) ผลการแบ่งกลุ่มสีของ MSOFM จำนวน 9  
กลุ่มสีที่  $\zeta = 0.2, \alpha = 0.01, \beta = 2, \sigma = 2$



(ฉ) ผลการแบ่งกลุ่มสีของ MSOFM จำนวน 31  
กลุ่มสีที่  $\zeta = 0.2, \alpha = 2, \beta = 5, \sigma = 2$



(ช) ผลการแบ่งกลุ่มสีของ MSOFM จำนวน 7  
กลุ่มสีที่  $\zeta = 0.2, \alpha = 2, \beta = 0.01, \sigma = 2$



(ซ) ผลการแบ่งกลุ่มสีของ MSOFM จำนวน 37  
กลุ่มสีที่  $\zeta = 0.2, \alpha = 2, \beta = 2, \sigma = 5$



(ด) ผลการแบ่งกลุ่มสีของ MSOFM จำนวน 8  
กลุ่มสีที่  $\zeta = 0.2, \alpha = 2, \beta = 2, \sigma = 0.01$

รูปที่ 4.5 ตัวอย่างการแบ่งกลุ่มสีตามจำนวนกลุ่มสีของ MSOFM (ต่อ)

#### 4.4.1 การแบ่งกลุ่มสีโดยการออกจากใบอ่อนด้วยโครงข่ายประสาทเทียมแบบผังคุณ

ลักษณะการจัดการตัวเองแบบดัดแปลงร่วมกับจีนเนติกอัลกอริทึม

จากการกระบวนการแบ่งกลุ่มสีของ MSOFM ที่กล่าวมาข้างต้น เพื่อให้กระบวนการแบ่งกลุ่มสีจากภาพด้วยวิธีการ MSOFM สามารถปรับตัวได้โดยอัตโนมัติและมีประสิทธิภาพมากยิ่งขึ้น ซึ่งก็คือสามารถกำหนดค่าพารามิเตอร์เริ่มต้นของ MSOFM ให้เหมาะสมกับแต่ละภาพที่ป้อนให้กับระบบได้ งานวิจัยนี้จึงพิจารณาการค้นหาแบบจีนเนติกอัลกอริทึม (Genetic Algorithm หรือ

GA) ในการซ่วยกำหนดค่าพารามิเตอร์เริ่มต้นสำหรับ MSOFM โดย GA ทำงานร่วมกับ MSOFM ในการหาค่าพารามิเตอร์เริ่มต้นที่เหมาะสมที่สุดสำหรับแต่ละภาพ ซึ่งมีขั้นตอนการทำงานดังต่อไปนี้

ขั้นตอนที่ 1 ทำการสร้างประชากร สำหรับระบบในงานวิจัยนี้ประชากรที่สร้างขึ้นคือ พารามิเตอร์ MSOFM ซึ่งประกอบด้วย  $[\zeta \alpha \beta \sigma]^T$  ซึ่งได้จากการสุ่มค่าตั้งแต่ 1 ถึง 255

ขั้นตอนที่ 2 ทำการประเมินค่าโครโนโซนของกลุ่มประชากรทั้งหมดด้วยฟังก์ชัน วัดคุณประสิทธิ์ สำหรับระบบนี้ในการประเมินค่าโครโนโซน GA จะทำการส่งค่าโครโนโซนของกลุ่ม ประชากรที่สร้างขึ้นให้กับ MSOFM เพื่อทำการคำนวณหาค่าความเหมาะสมสมดังสมการที่ 4.4-4.6

$$d_{wx} = \frac{1}{N_w} \sum_{g=1}^{N_w} \frac{1}{N_g} \sum_{i=1}^{N_g} \sqrt{(x_{gi1} - w_{g1})^2 + (x_{gi2} - w_{g2})^2} \quad (0.4)$$

$$d_{ww} = \frac{1}{N_d} \sum_{j=1}^{N_d} \sum_{i=j+1}^{N_d} \sqrt{\sum_{k=1}^n (w_{ik} - w_{jk})^2} \quad (0.5)$$

$$ObjV = d_{wx} + \frac{N_w}{d_{ww}} \quad (0.6)$$

โดยที่	$x$	คือ ข้อมูลอินพุตของระบบ
	$w$	คือ เวกเตอร์น้ำหนักประชากรใช้แทนจุดศูนย์กลางของกลุ่มสี
	$N_w$	คือ จำนวนเวกเตอร์น้ำหนักประชากร
	$N_g$	คือ จำนวนสมาชิกภายในกลุ่มของเวกเตอร์น้ำหนักประชากร
	$N_d$	คือ จำนวนระยะทางระหว่างเวกเตอร์น้ำหนักประชากร
	$n$	คือ จำนวนข้อมูลอินพุตภายใน $x$
	$d_{wx}$	ค่าระยะทางระหว่างอินพุตกับเวกเตอร์น้ำหนักประชากร
	$d_{ww}$	ค่าระยะทางระหว่างเวกเตอร์น้ำหนักประชากร

ขั้นตอนที่ 3 ใช้ค่าความเหมาะสม ( $ObjV$ ) ทำการคัดเลือกโครโนโซนบางกลุ่มเพื่อ พิจารณาเป็นต้นกำเนิดสายพันธุ์ซึ่งใช้เป็นตัวแทนในการถ่ายทอดสายพันธุ์ให้กับรุ่นถัดไป สำหรับ ระบบนี้พิจารณาใช้วิธีการซักตัวอย่างแบบกระบวนการเพื่อสุ่มครอบจักรวาล (stochastic universal sampling) ในการคัดเลือกสายพันธุ์ ซึ่งมีวิธีการคัดเลือกดังนี้ ถ้าต้องการคัดเลือก  $N$  โครโนโซนจะมี ตัวชี้ทั้งหมด  $N$  ตัว โดยที่ตัวชี้แต่ละตัวมีระยะห่างเท่ากันและมีค่าเท่ากับ  $\frac{P_{total}}{N}$  ดังแสดงในรูปที่ 4.6

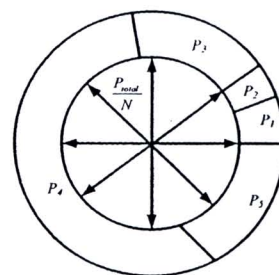
กระบวนการเริ่มจากการสุ่มสลับที่โครโนซึมบันทางล้อรูเล็ต ถัดมาตัวชี้เริ่มต้นจะถูกสุ่มขึ้นมาในช่วง 0 ถึง  $P_{total}$  ตัวชี้ที่เหลือจำนวน  $N - 1$  ตัว ถัดจากตัวชี้เริ่มต้นจะถูกคำนวณซึ่งมีระบบห่างระหว่างตัวชี้เท่ากับ  $\frac{P_{total}}{N}$  โครโนซึมที่ถูกคัดเลือกมีโครโนซึมจำนวนทั้งสิ้น  $N$  โครโนซึมซึ่งถูกตัวชี้  $N$  ตัวชี้อยู่

ขั้นตอนที่ 4 นำต้นกำเนิดสายพันธุ์มาทำการสร้างลูกหลานด้วยวิธีการปฏิบัติการทำงานสายพันธุ์ โดยการทำครอสโซเวอร์ (crossover) และการทำมิวเทชัน (mutation) การทำครอสโซเวอร์ เป็นวิธีการรวมตัวใหม่ของโครโนซึม โดยทำการรวมส่วนย่อของระหว่างโครโนซึมต้นกำเนิดสายพันธุ์ทั้งสองโครโนซึมเข้าไป เพื่อให้กลายเป็นโครโนซึมลูกหลานซึ่งจะมีพันธุกรรมจากต้นกำเนิดสายพันธุ์อยู่ในตัว ส่วนมิวเทชันเป็นวิธีการแปรผันยืนหรือส่วนย่อของโครโนซึม เพื่อให้เกิดความหลากหลายของกลุ่มประชากร

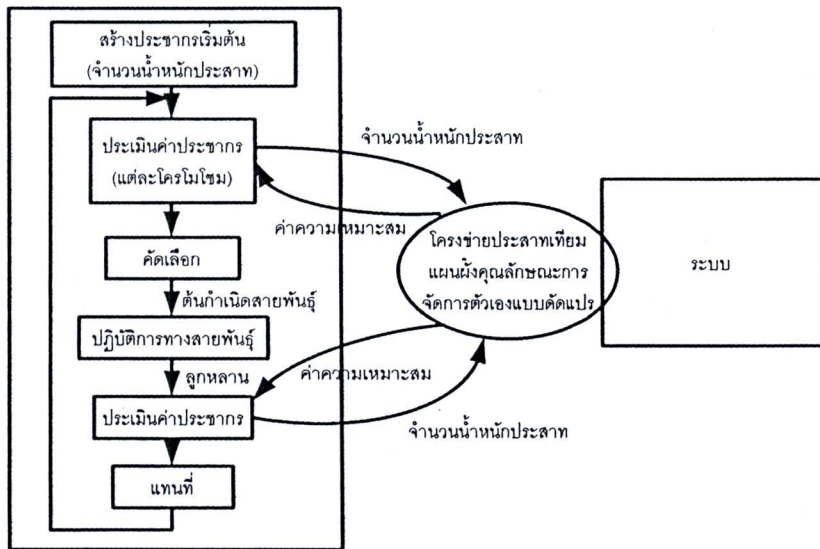
ขั้นตอนที่ 5 คำนวณค่าความเหมะสมของโครโนซึมลูกหลาน โดยใช้ขั้นตอนเดียวกับขั้นตอนที่ 2

ขั้นตอนที่ 6 โครโนซึมในประชากรเดิมจะถูกแทนที่ด้วยลูกหลานที่ได้จากขั้นตอนที่ 4 โดยการนำเอาประชากรลูกหลานไปแทนที่ประชากรเดิมเพียงบางส่วนเท่านั้น โดยพิจารณาจากค่าความเหมะสมของโครโนซึม

ขั้นตอนที่ 7 เริ่มต้นทำซ้ำจากขั้นตอนที่ 2 ไปเรื่อยๆ จนกระทั่งได้คำตอบที่ต้องการซึ่งได้มาจากโครโนซึมที่คือที่สุดในกลุ่มประชากร โดยใช้ค่าจากฟังก์ชันวัดคุณภาพองค์เพื่อประเมินว่าคำตอบที่ได้เป็นที่ต้องการแล้วหรือไม่



รูปที่ 4.6 วงล้อรูเล็ตจากกระบวนการเพื่อสุ่มครอบจักรวาล

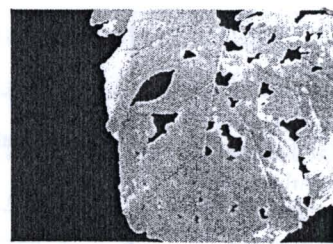


รูปที่ 4.7 ขั้นตอนการทำงานของจีนแนติกอัลกอริทึม

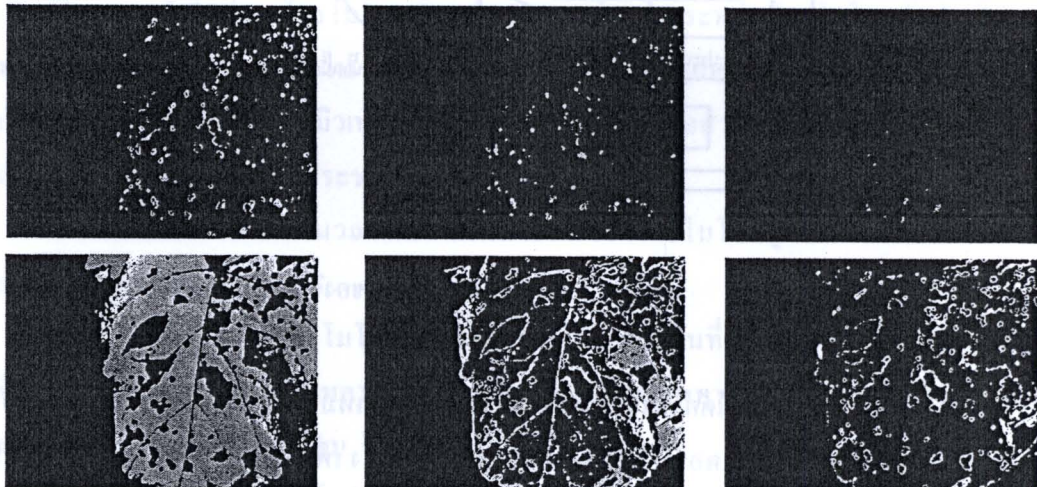
เมื่อได้ค่าพารามิเตอร์ของ MSOFM ที่เหมาะสมที่สุดสำหรับแต่ละภาพแล้ว ระบบจะทำการส่งค่าพารามิเตอร์นี้ไปให้กับ MSOFM อีกครั้ง เพื่อให้ระบบโครงข่ายทำการปรับจำนวนเวกเตอร์หนักประสาทที่จะเกิดขึ้นและตำแหน่งศูนย์กลางที่เหมาะสมที่สุดของเวกเตอร์หนักประสาทซึ่งเป็นตัวแทนของชุดข้อมูลสมาชิกในกลุ่มสีนั้น

4.4.2 ผลการทดสอบการแบ่งกลุ่มลีโตรอกอออกจากใบอุ่นด้วยโครงข่ายประสาทเทียมแบบ  
แผนผังคุณลักษณะการจัดการตัวเองแบบดัดแปลงร่วมกับจีนแนติกอัลกอริทึม

จากการทดสอบภาษาใบอุ่นที่มีขนาดภาพเท่ากัน 426 x 568 จุดภาพจำนวน 60 ภาพ สำหรับการแบ่งกลุ่มสีโรคออกจากใบอุ่นด้วย MSOFM ร่วมกับ GA ในการหาค่าที่เหมาะสมที่สุดของค่าพารามิเตอร์เริ่มต้นของ MSOFM ในแต่ละภาษาเพื่อให้สามารถแบ่งกลุ่มได้โดยอัตโนมัติและสามารถแบ่งกลุ่มแยกความแตกต่างของสีโรคและสีใบอุ่นออกจากกันได้อย่างมีประสิทธิภาพ โดยแบ่งตามลักษณะความซับช้อนของในภาษาในภาพ คือ ลักษณะใบที่มีความซับช้อนน้อย ลักษณะใบที่มีความซับช้อนปานกลางและลักษณะใบที่มีความซับช้อนมาก นอกจากนี้ยังได้ทำการทดสอบระบบเมื่อมีสภาวะแสงสว่างแตกต่างกัน ได้แก่ สภาวะแสงสว่างมาก สภาวะแสงสว่างปานกลางและสภาวะมืดครึ่ง รวมถึงสภาวะที่มีหยดน้ำบนพื้นผิวใน เพื่อศูนย์การทดสอบระบบการแบ่งกลุ่มสีใบอุ่นตามลักษณะความซับช้อนของภาษา ได้ผลลัพธ์ดังต่อไปนี้

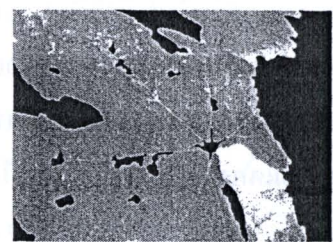


(ก) ภาพต้นแบบ



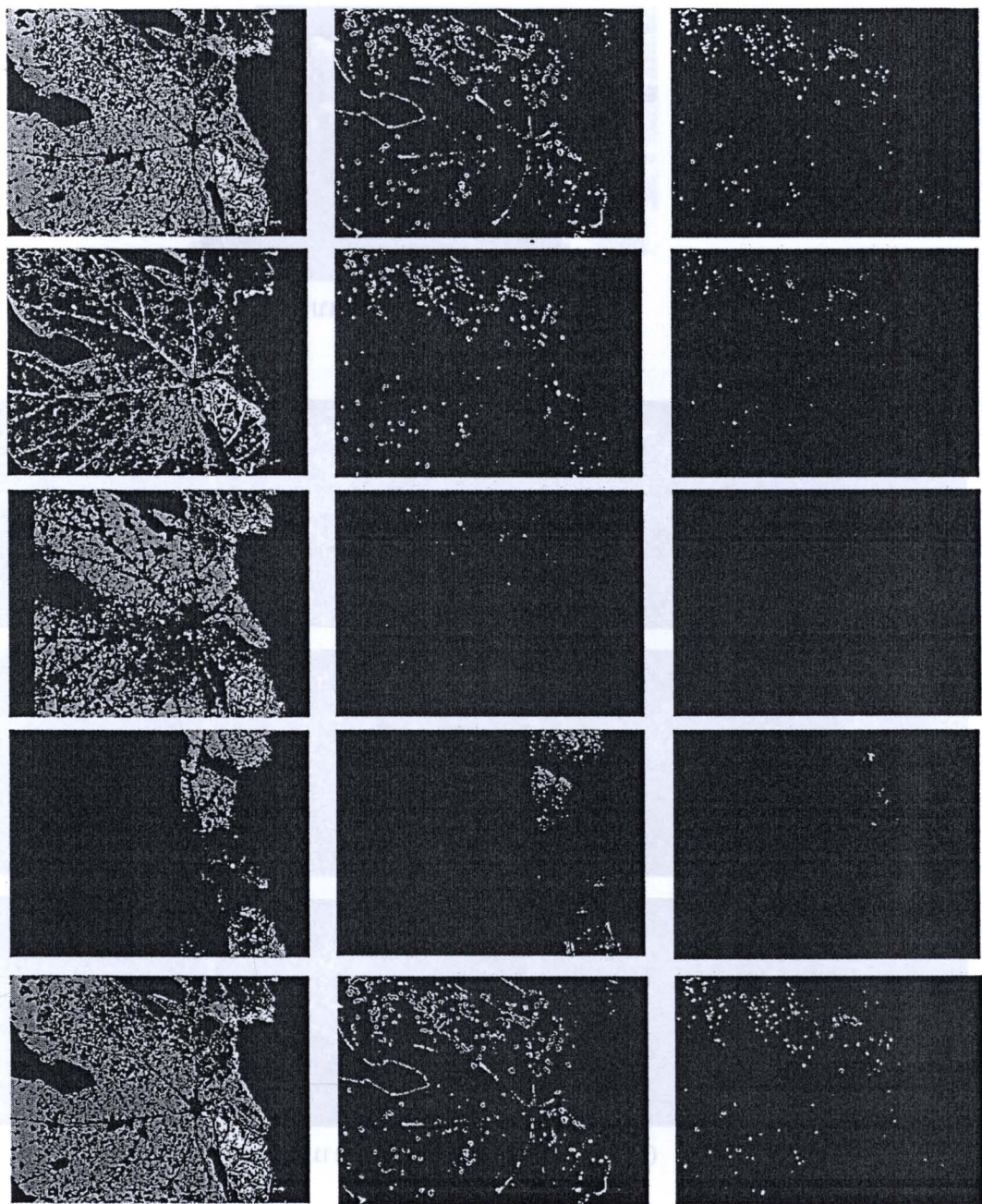
(ข) การแบ่งกลุ่มสีของภาพออกตามจำนวนกลุ่มสี 6 กลุ่มสี

รูปที่ 4.8 ตัวอย่างการแบ่งกลุ่มสีโดยการแยกจุดสีออกจากพื้นหลังที่มีความซับซ้อนน้อย



(ก) ภาพต้นแบบ

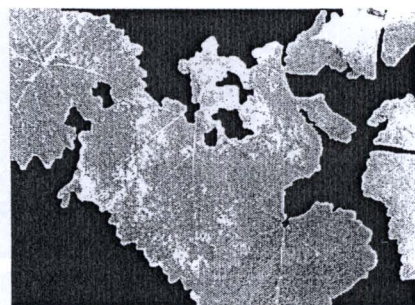
รูปที่ 4.9 ตัวอย่างการแบ่งกลุ่มสีโดยการแยกจุดสีออกจากพื้นหลังที่มีความซับซ้อนปานกลาง



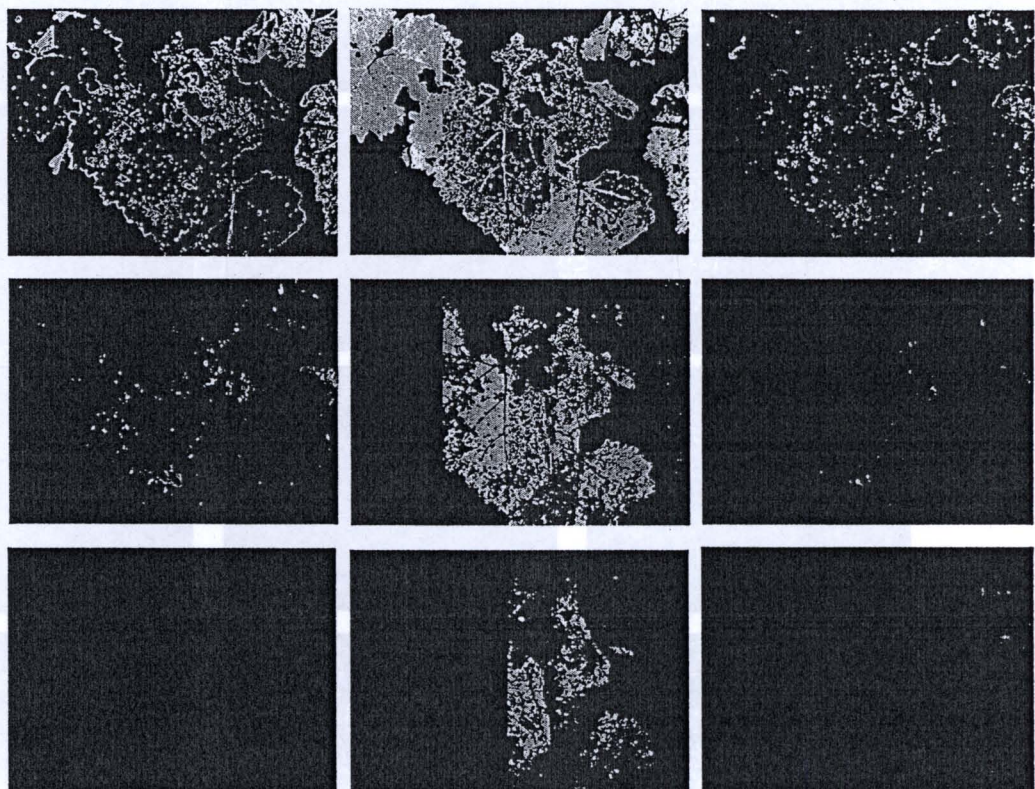
(ว) การแบ่งกลุ่มสีของภาพออกตามจำนวนกลุ่มสี 12 กลุ่มสี

รูปที่ 4.9 ตัวอย่างการแบ่งกลุ่มสีโดยการจัดอันดับจากใหญ่ไปเล็ก (ต่อ)





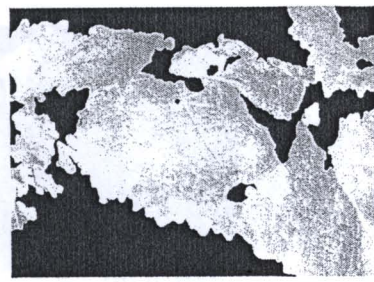
(ก) ภาพต้นแบบ



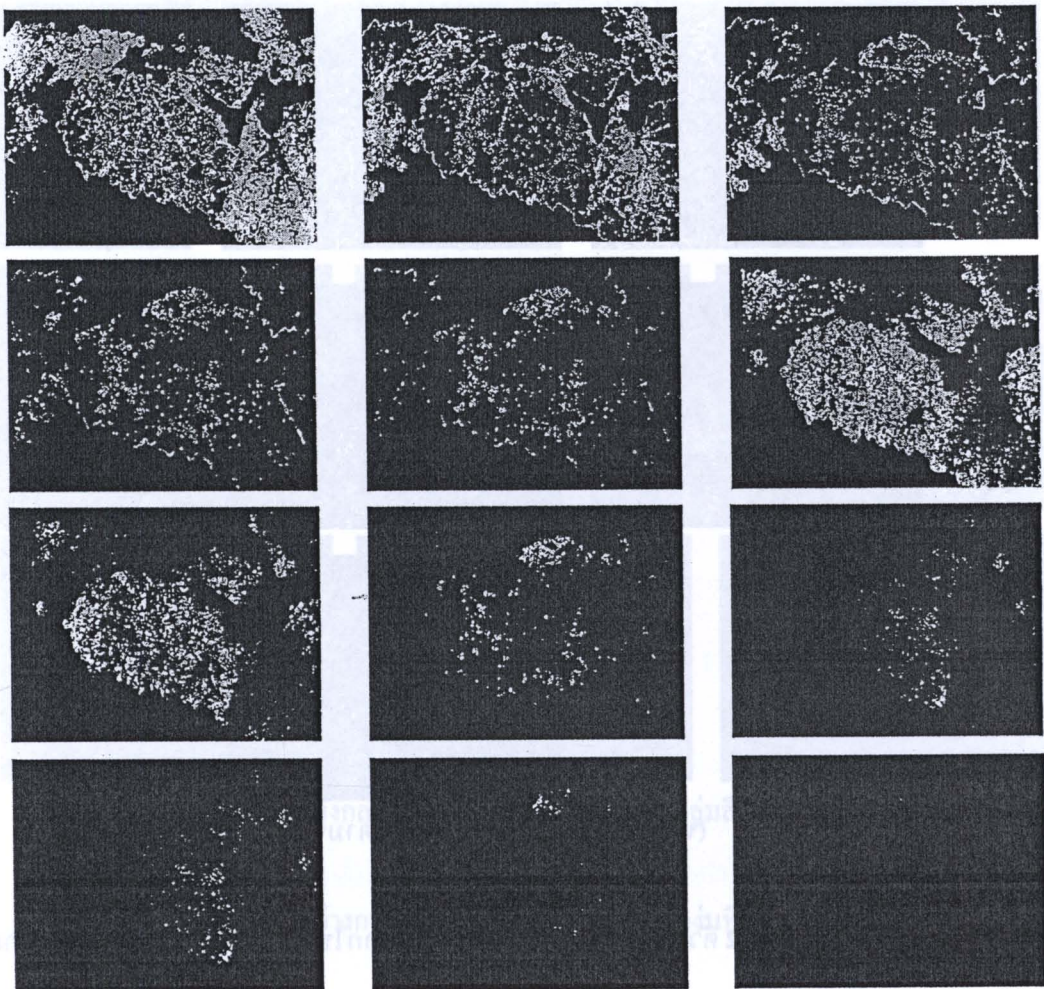
(ข) การแบ่งกลุ่มสีของภาพออกตามจำนวนกลุ่มสี 9 กลุ่มสี

รูปที่ 4.10 ตัวอย่างการแบ่งกลุ่มสีโกรคออกจากใบอ่อนที่มีความซับซ้อนมาก



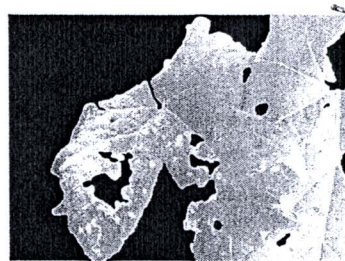


(ก) ภาพต้นแบบ

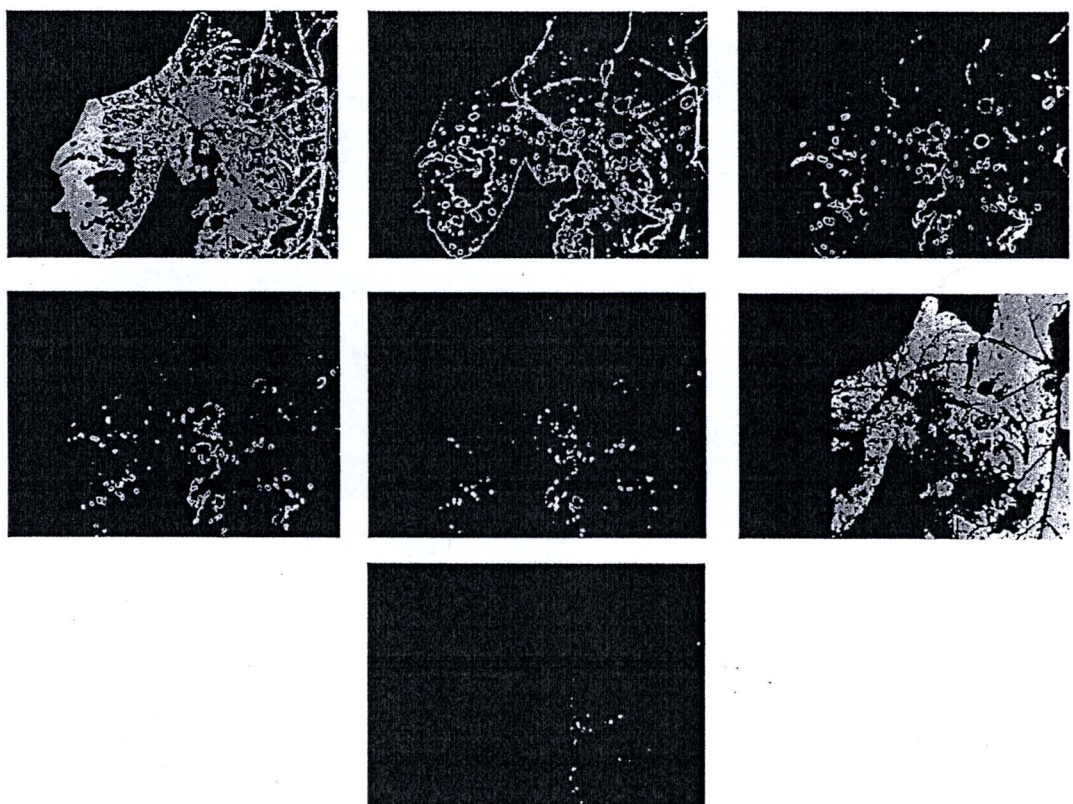


(ข) การแบ่งกลุ่มสีของภาพอกรตามจำนวนกลุ่มสี 12 กลุ่มสี

รูปที่ 4.11 ตัวอย่างการแบ่งกลุ่มสีโดยอกรจากใบอ่อนที่สภาวะแสงสว่างมาก

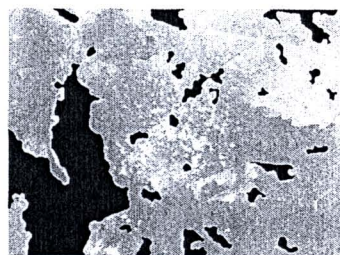


(ก) ภาพต้นแบบ

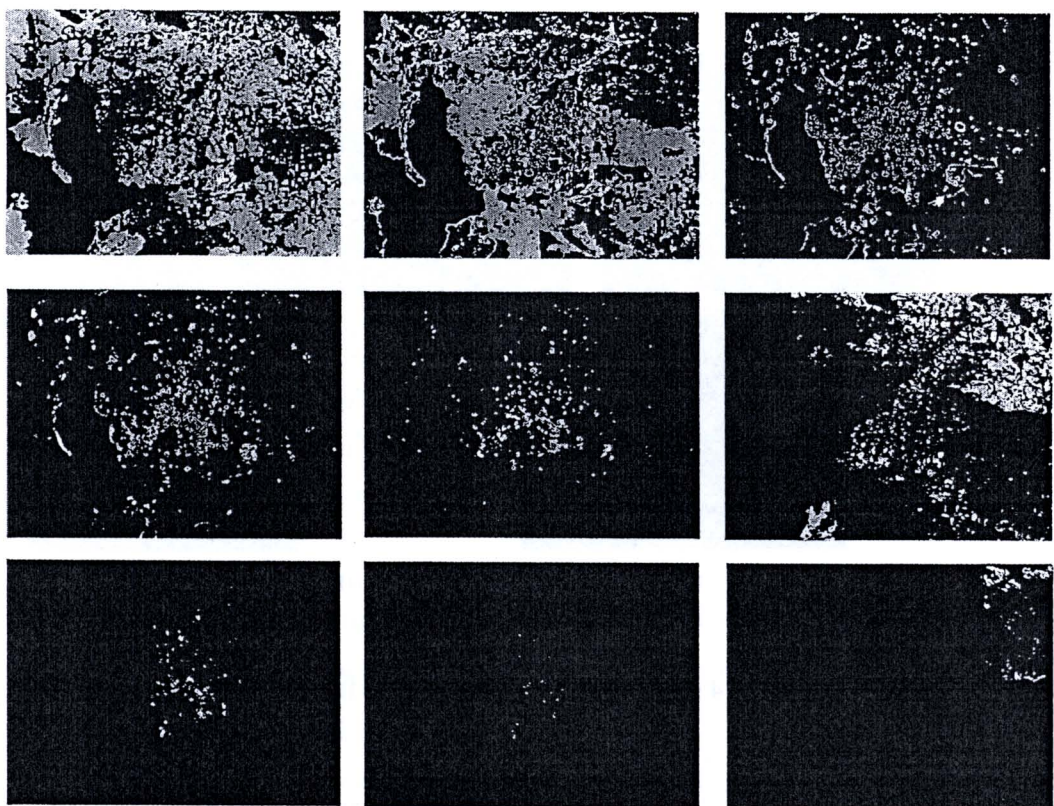


(ข) การแบ่งกลุ่มสีของภาพออกตามจำนวนกลุ่มสี 7 กลุ่มสี

รูปที่ 4.12 ตัวอย่างการแบ่งกลุ่มสีโดยการแยกออกจากใบอ่อนที่สภาวะแสงสว่างปานกลาง



(ก) ภาพต้นแบบ

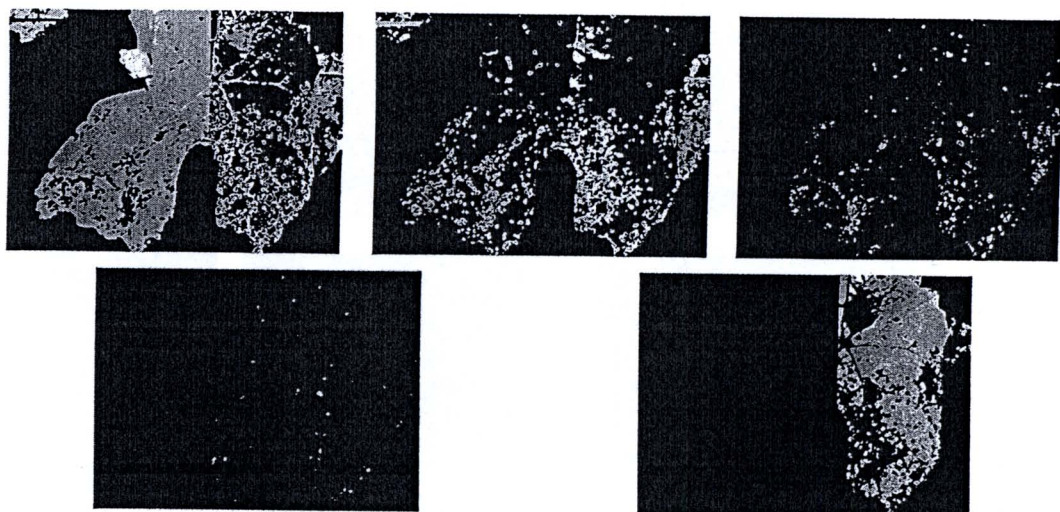


(ข) การแบ่งกลุ่มสีของภาพอคตามจำนวนกลุ่มสี 9 กลุ่มสี

รูปที่ 4.13 ตัวอย่างการแบ่งกลุ่มสีโดยอคตามจากใบอ่อนที่สภาวะมีดครึ้ม



(ก) ภาพต้นแบบ



(ห) การแบ่งกลุ่มสีของภาพอุดuctตามจำนวนกลุ่มสี 5 กลุ่มสี

รูปที่ 4.14 ด้าอย่างการแบ่งกลุ่มสีโดยอุดuctจากในอุ่นที่มีหยดน้ำบนพื้นผิวใน

เมื่อพิจารณาการแบ่งกลุ่มสีโดยอุดuctในอุ่นจากรูปที่ 4.8–4.14 พบว่าการแบ่งกลุ่มสีโดยอุดuctในอุ่นด้วย MSOFM ร่วมกับ GA ระบบสามารถทำการแบ่งแยกความแตกต่างระหว่างสีโดยและสีในอุ่นได้อย่างชัดเจนในสภาวะที่แตกต่างกัน ได้อย่างมีประสิทธิภาพ อีกทั้งการหาค่าที่เหมาะสมที่สุดของพามิเตอร์ MSOFM ด้วย GA ให้เหมาะสมในแต่ละภาพเป็นผลให้ระบบสามารถทำการแบ่งกลุ่มสีได้โดยอัตโนมัติและขังช่วยลดความซ้ำซ้อนของข้อมูลกลุ่มสีที่เกิดจากการปรับแต่งค่าพารามิเตอร์ MSOFM ด้วยผู้ใช้งานและเมื่อพิจารณาจำนวนการแบ่งกลุ่มสีในแต่ละภาพ ด้วยการหาค่าที่เหมาะสมที่สุดแล้วนี้จากรูปที่ 4.8–4.14 จะเห็นว่าผลการแบ่งกลุ่มสีจะให้ผลของจำนวนกลุ่มสีที่แตกต่างกันอันเนื่องมาจากสาเหตุหนึ่งคือความซับซ้อนของข้อมูลสีในและโรคกล่าวคือ ระดับของสีในอุ่นและสีโดยภายในภาพที่สภาวะต่าง ๆ จะมีระดับของสีที่แตกต่างกันตามการสะท้อนแสงของวัตถุ

#### 4.5 กระบวนการคัดแยกสีโรคออกจากสีใบอุ่น

กระบวนการคัดแยกสีโรคคือหัวรับงานวิจัยนี้พิจารณาใช้เครื่องเวกเตอร์เกือบอนุในการระบุกลุ่มสีที่เป็นสีโรค ซึ่งเครื่องเวกเตอร์เกือบอนุเป็นระบบที่มีการเรียนรู้แบบมีผู้ฝึกสอนและอาศัยหลักการหาสัมประสิทธิ์ของสมการเพื่อสร้างเส้นแบ่งระหว่างเกินที่ดีที่สุด (optimal separating hyper plane) สำหรับแบ่งแยกกลุ่มข้อมูลที่ลูกปืนเข้าสู่กระวนเรียนรู้ของระบบ โดยมีขั้นตอนดังต่อไปนี้

ขั้นตอนที่ 1 กำหนดอินพุตให้กับระบบ สำหรับงานวิจัยนี้ใช้ค่า  $a^*$ ,  $u^*$  และ  $Cr$  ของภาพในช่วงที่เป็นสีโรค โดยระบุเป้าหมายว่าเป็นสีโรคและค่า  $a^*$ ,  $u^*$  และ  $Cr$  ของภาพในช่วงที่ไม่เป็นสีโรค โดยระบุเป้าหมายว่าไม่เป็นสีโรคมาฝึกสอนให้ระบบเรียนรู้และแบ่งข้อมูลได้ถูกต้องดังสมการที่ 4.7

$$\left\{ \begin{array}{l} x_{DiseaseGrapeleaf} = \begin{bmatrix} a^* \\ u^* \\ Cr \end{bmatrix}, y_{DiseaseGrapeleaf} = 1 \\ x_{NotDiseaseGrapeleaf} = \begin{bmatrix} a^* \\ u^* \\ Cr \end{bmatrix}, y_{NotDiseaseGrapeleaf} = -1 \end{array} \right. \quad (4.7)$$

ซึ่งจำนวนตัวอย่างสีใบอุ่นที่ใช้ฝึกสอนมีทั้งหมด 45 ตัวอย่าง จากภาพทั้งหมด 14 ภาพ (ภาพผนวก ๑) และตัวอย่างภาพที่ไม่ใช้สีใบอุ่นจำนวน 48 ตัวอย่าง ตัวอย่างสีใบอุ่นที่นำมาใช้ฝึกสอนระบบแสดงดังรูปที่ 4.15

ขั้นตอนที่ 2 ทำการกำหนดฟังก์ชันแก่นกลาง เนื่องจากพื้นฐานหลักการทำงานของเครื่องเวกเตอร์เกือบอนุนั้นมีรากฐานสำหรับการแก้ปัญหาแบบเชิงเส้น สำหรับลักษณะข้อมูลที่มีลักษณะไม่เป็นเชิงเส้น การกำหนดฟังก์ชันแก่นกลางจึงสามารถแก้ปัญหาดังกล่าวได้ ซึ่งแก่นกลาง (kernel) นั้นคือการคูณของเวกเตอร์  $x$  ใด ๆ ดังสมการที่ 4.8

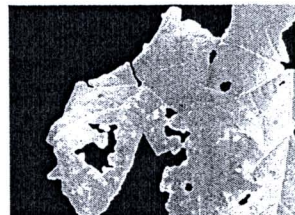
$$K(x_i, x_j) = (\Phi(x_i) \bullet \Phi(x_j)) = K(x_i \cdot x_j) \quad (4.8)$$

แก่นกลางที่นิยมใช้มีอยู่ 3 ชนิด ได้แก่ ฟังก์ชันแก่นกลางแบบพหุนาม (polynomial kernel) ฟังก์ชันแก่นกลางฐานหลักรัศมี (Radial Basis Function kernel หรือ RBF kernel) และฟังก์ชันแก่น

กลไกแบบซิกมอยด์ (sigmoid kernel) ในงานวิจัยนี้เลือกใช้ฟังก์ชันแคนonical กางaroo หนึ่งจาก มีประสิทธิภาพในการคัดแยกสีโรมออกจากในอุ่นที่เหมาะสมกับภาพในงานวิจัยดังสมการที่ 4.9

ขั้นตอนที่ 3 ทำการฝึกสอนระบบที่ออกแบบไว้และนำข้อมูลภาพที่ต้องการทดสอบโดยใช้ ค่าเวกเตอร์  $a^* u^*$  และ  $C_F$  ของข้อมูลภาพทดสอบเป็นข้อมูลของระบบที่ต้องการทดสอบ มาทำการ จำลอง (simulation) กับเครื่องเวกเตอร์เกือบหมุนที่ได้ทำการฝึกสอนไว้แล้ว ซึ่งเมื่อกลุ่มสีได้เป็นกลุ่ม สีในอุ่น โครงข่ายจะให้อาตพดเป็น 1 ส่วนกลุ่มสีไม่ใช่กลุ่มสีในอุ่นโครงข่ายจะให้อาตพดเป็น -1

$$K(x_i, x_j) = \exp\left(-\frac{\|x_i - x_j\|^2}{2\sigma^2}\right) \quad (4.9)$$



(ก) ภาพต้นแบบ



(ข) ภาพกลุ่มสีในอุ่น

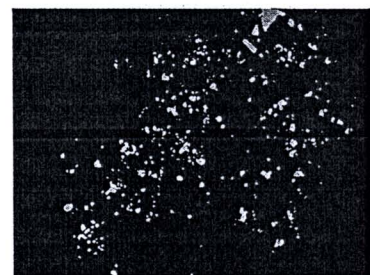
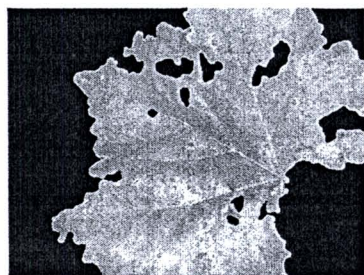
รูปที่ 4.15 ตัวอย่างกลุ่มสีในอุ่นที่นำมาฝึกสอนระบบ

#### 4.6 ผลการทดสอบการคัดแยกสีโรมออกจากในอุ่น

เป็นการทดสอบการคัดแยกสีโรมออกจากในอุ่นที่ได้จากการแบ่งกลุ่มสีโรมด้วย MSOFM ร่วมกับ GA ในการหาค่าที่เหมาะสมที่สุดของพารามิเตอร์ MSOFM ให้เหมาะสมสำหรับการแบ่งกลุ่มสี ในแต่ละภาพ ดังรายละเอียดต่อไปนี้

#### 4.6.1 ผลการทดสอบการคัดแยกสีโรคโดยการแบ่งกลุ่มลีด้วยโกรงข่ายประสาทเทียมแบบ แผนผังคุณลักษณะการจัดการตัวเองแบบคัดแบ่งร่วมกับจีนแนติกอัลกอริทึม

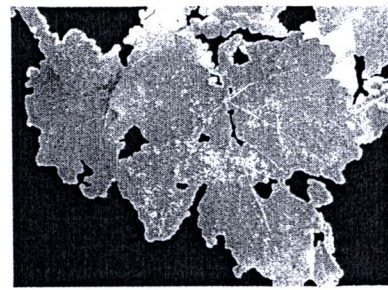
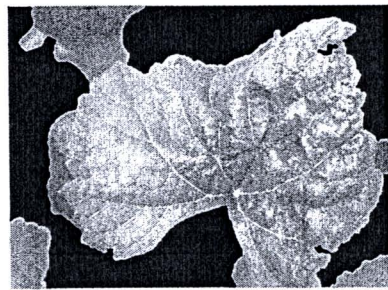
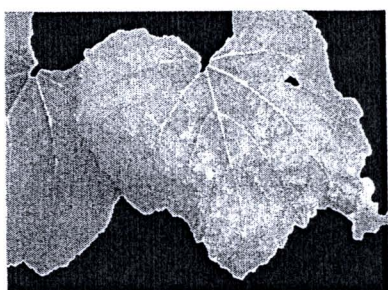
ด้วยการทดสอบภาพใบอ่อนที่มีขนาดภาพเท่ากับ  $426 \times 568$  จุดภาพจำนวน 1,088 ภาพการคัดแยกสีโรคออกจากใบอ่อนด้วยกระบวนการแบ่งกลุ่มลีดของ MSOFM ร่วมกับ GA ในการหาค่าที่เหมาะสมที่สุดของพารามิเตอร์ MSOFM ให้เหมาะสมสำหรับการแบ่งกลุ่มสีในแต่ละภาพและใช้ SVMs ในการระบุกลุ่มที่เป็นสีโรคออกจากใบอ่อน โดยแบ่งตามลักษณะความซับช้อนของใบอ่อน คือ ลักษณะใบที่มีความซับช้อนน้อย ลักษณะใบที่มีความซับช้อนปานกลางและลักษณะใบที่มีความซับช้อนมาก นอกจากนี้ยังได้ทำการทดสอบระบบเมื่อมีสภาวะแสงสว่างแตกต่างกัน ได้แก่ สภาวะแสงสว่างมาก สภาวะแสงสว่างปานกลางและสภาวะมืดครึ่งรวมถึงสภาวะที่มีหยดน้ำบนพื้นผิวใบ เพื่อคุณการทดสอบระบบการคัดแยกสีใบอ่อนตามลักษณะความซับช้อนของภาพ ได้ผลดังต่อไปนี้



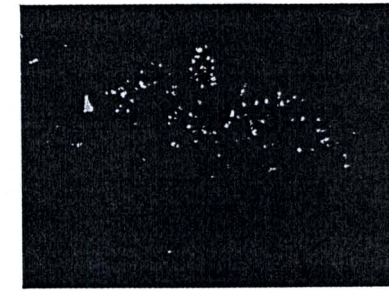
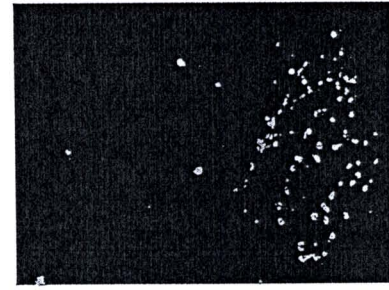
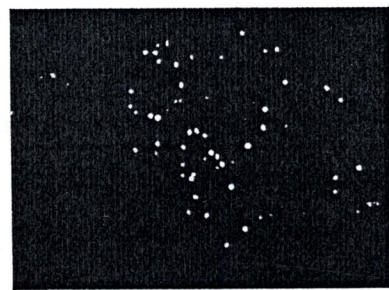
(ก) ภาพต้นแบบการคัดแยกสีใบอ่อน

(ข) ภาพการคัดแยกสีโรค

รูปที่ 4.15 ตัวอย่างการคัดแยกสีโรคออกจากใบอ่อนที่มีความซับช้อนน้อย

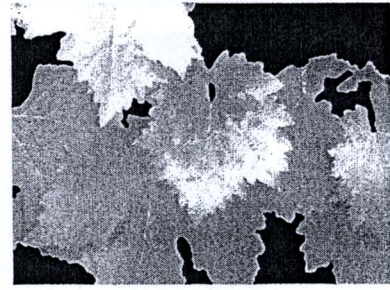
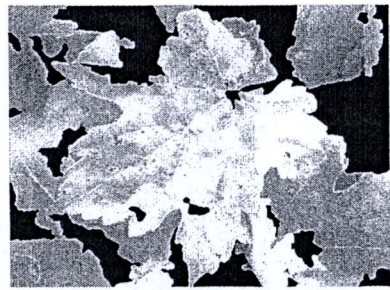
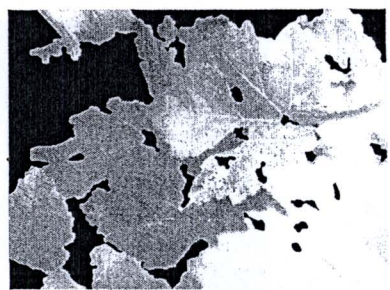
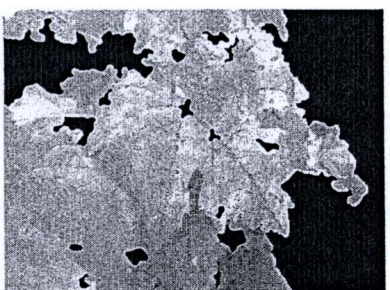


(ก) ภาพด้านแบบการคัดแยกสีใบอ่อน

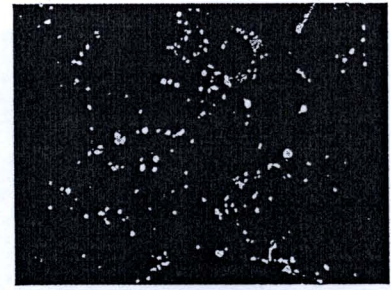
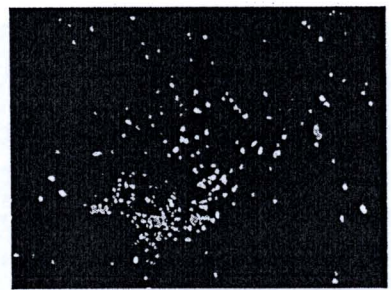


(ข) ภาพการคัดแยกสีโรค

รูปที่ 4.16 ตัวอย่างการคัดแยกสีโรคออกจากใบอ่อนที่มีความซับซ้อนปานกลาง

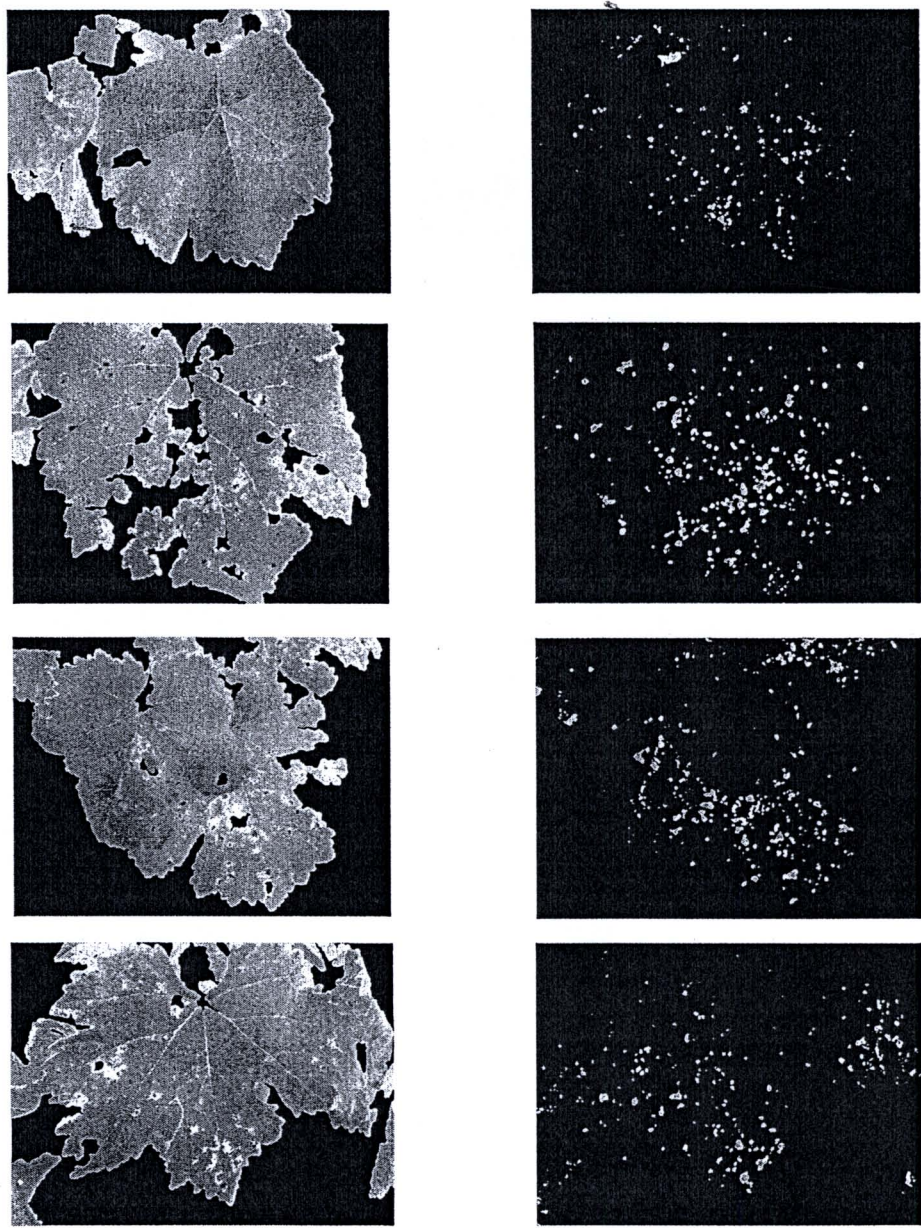


(ก) ภาพต้นแบบการคัดแยกสีใบอ่อน



(ข) ภาพการคัดแยกสีโรค

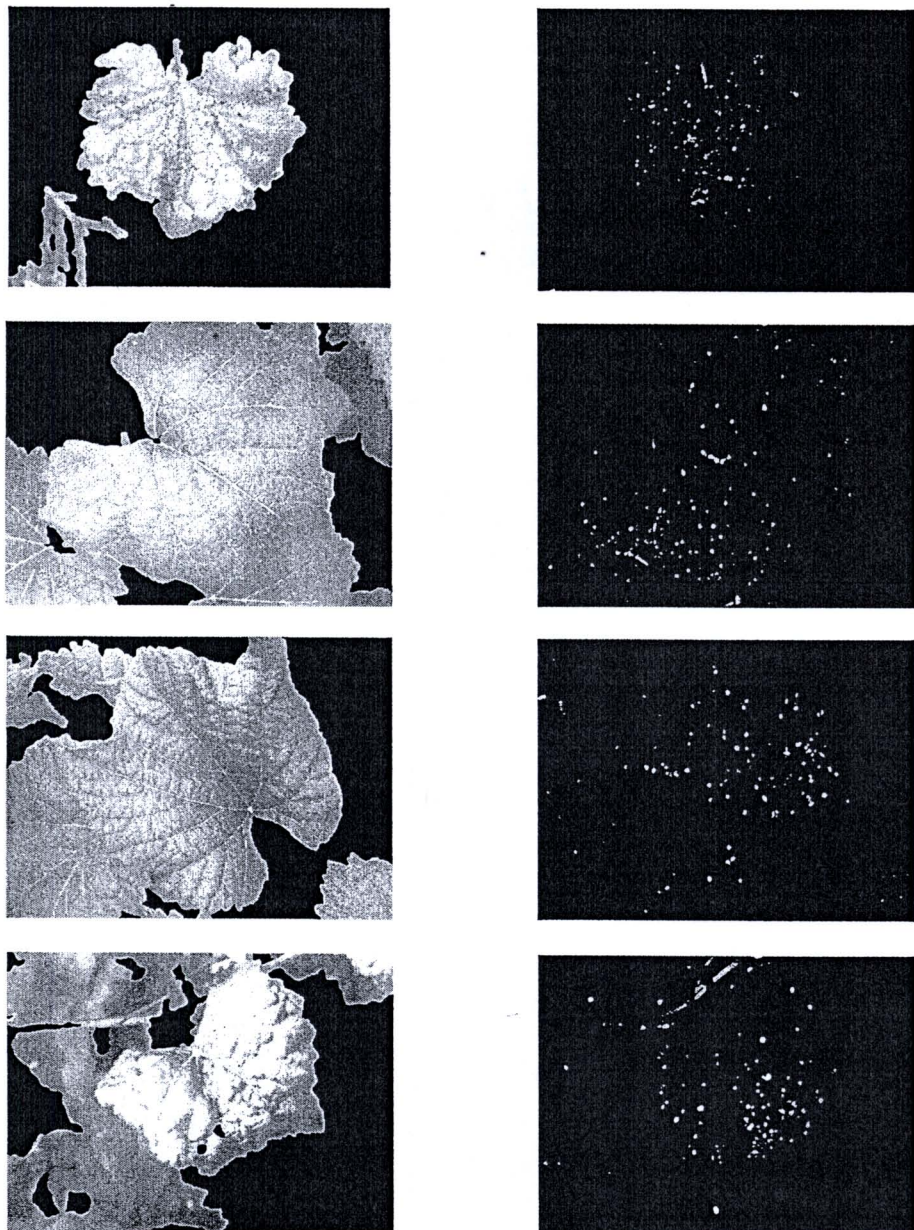
รูปที่ 4.17 ตัวอย่างการคัดแยกสีโรคออกจากใบอ่อนที่มีความซับซ้อนมาก



(ก) ภาพด้านบนการคัดแยกสีใบอ่อนในตาราง  
ที่ 3.15(ก)

(ข) ภาพการคัดแยกสีโอลี

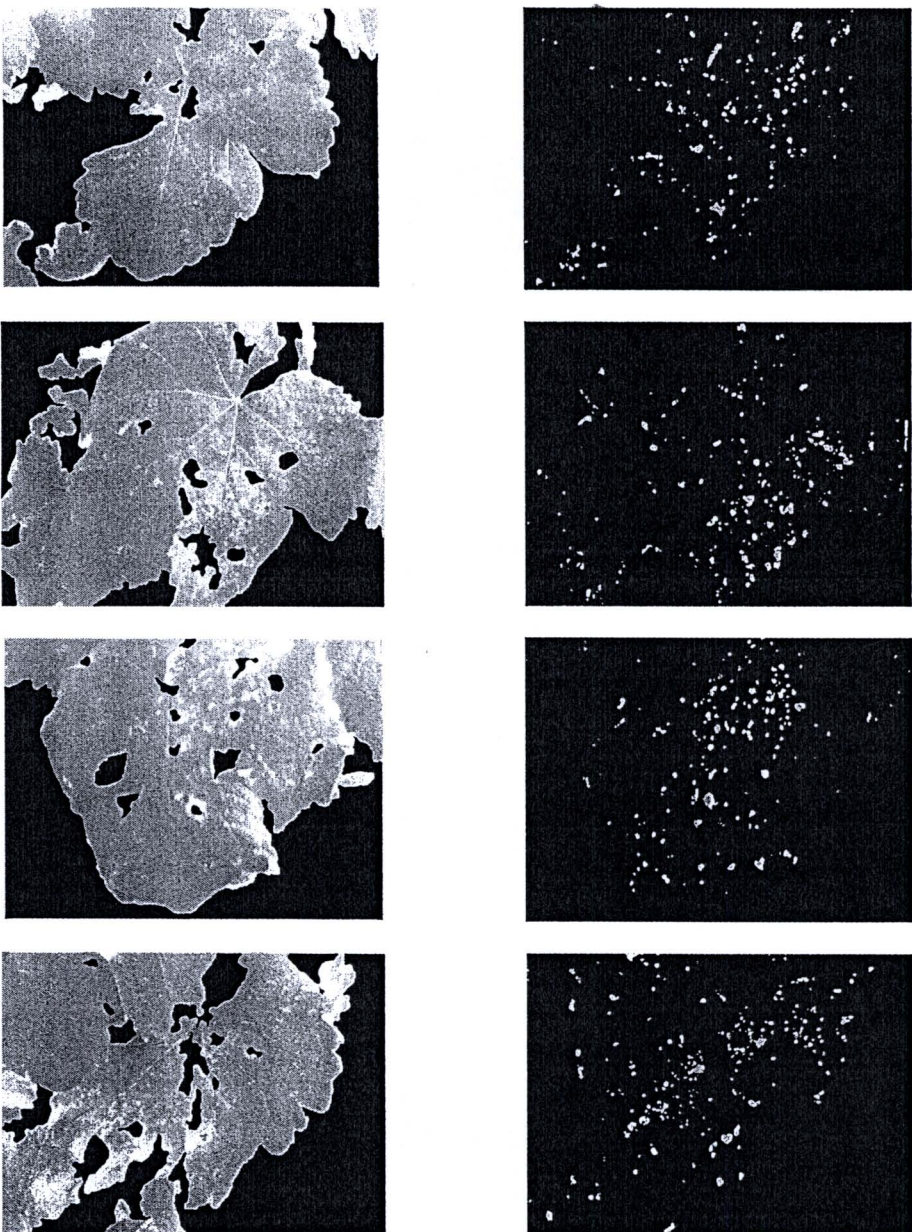
รูปที่ 4.18 ตัวอย่างการคัดแยกสีโอลีออกจากใบอ่อนที่สภาวะแสงสว่างมาก



(ก) ภาพต้นแบบการคัดแยกสีใบอ่อนในตาราง  
ที่ 3.16(ก)

(ข) ภาพการคัดแยกสีโอลีฟ

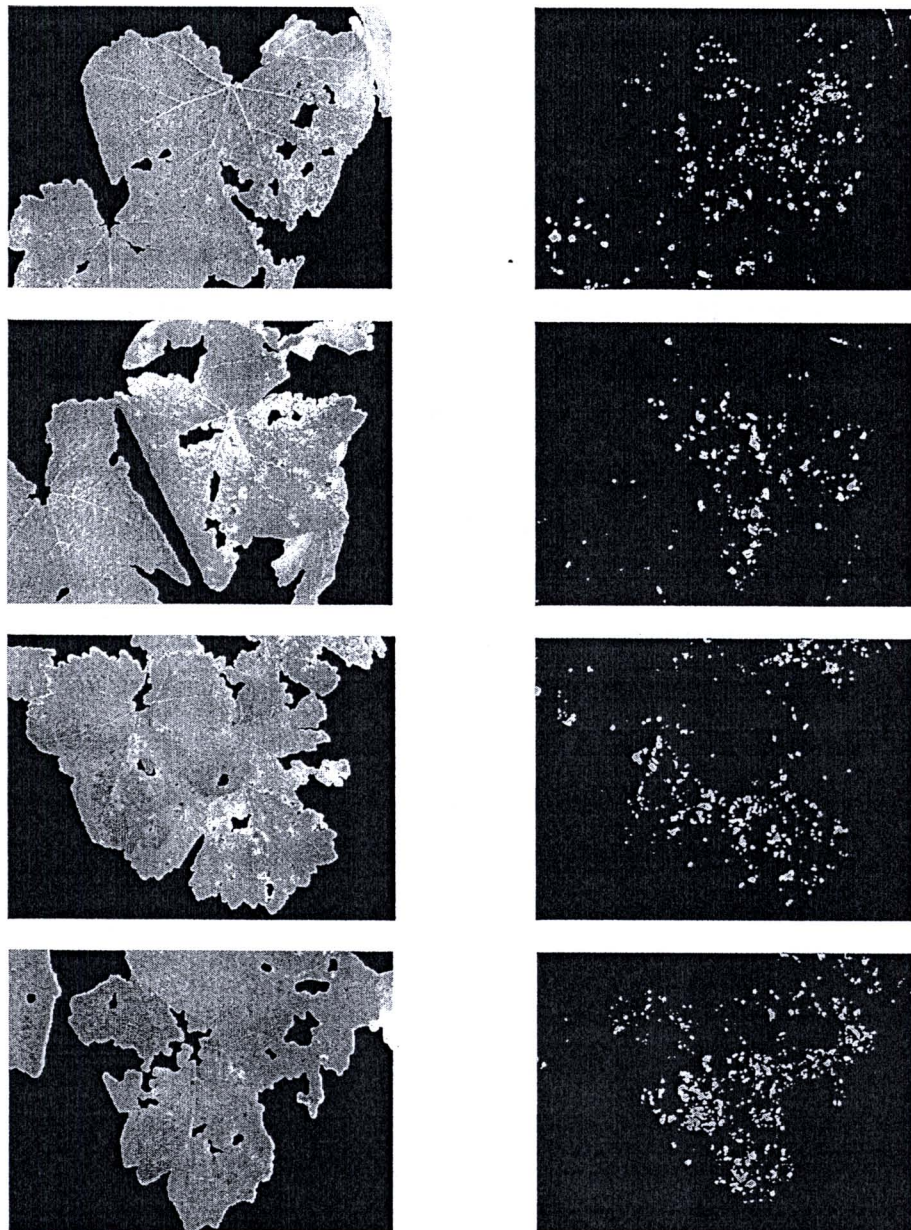
รูปที่ 4.19 ตัวอย่างการคัดแยกสีโอลีฟออกจากใบอ่อนที่สภาวะแสงสว่างปานกลาง



(ก) ภาพต้นแบบการคัดแยกสีใบอ่อนในตาราง  
ที่ 3.17(ค)

(ข) ภาพการคัดแยกสีโรค

รูปที่ 4.20 ตัวอย่างการคัดแยกสีโรคออกจากใบอ่อนที่สภาพมีครึ่ม



(ก) ภาพต้นแบบการคัดแยกสีใบอ่อนใน  
ตารางที่ 3.17(ก)

(ข) ภาพการคัดแยกสีโอลี

รูปที่ 4.21 ตัวอย่างการคัดแยกสีโอลีออกจากใบอ่อนสภาวะที่มีหยดน้ำน้ำพื้นผิวใน

เมื่อพิจารณารูปที่ 4.16 เป็นการพิจารณาการคัดแยกสีโอลีออกจากใบอ่อนที่มีความ  
ชื้นช้อนน้ำอยู่มากในอ่อนเพียงหนึ่งใบ จะเห็นว่าระบบสามารถทำการคัดแยกสีโอลีออกจากใบ  
อ่อนได้อย่างมีประสิทธิภาพ เมื่อพิจารณารูปที่ 4.17 เป็นการคัดแยกสีโอลีออกจากใบอ่อนที่มีความ

ขับข้อนปานกลางมีจำนวนในอุ่น 2-5 ใน มีลักษณะการวางแผนตัว รูปลักษณะในอุ่นและขนาดของใบที่หลากหลาย พนว่าระบบยังสามารถทำการคัดแยกสีโรคออกจากใบอุ่นได้อย่างมีประสิทธิภาพ เมื่อพิจารณารูปที่ 4.18 เป็นการคัดแยกสีโรคออกจากใบอุ่นที่มีความซับซ้อนมากมีจำนวนในมากกว่า 5 ใน มีลักษณะข้อมูลของใบรวมกันเป็นกลุ่ม มีลักษณะการวางแผนตัว รูปแบบของใบและขนาดของใบที่หลากหลายและข้อมูลที่มีสีคล้ำเข้มในอุ่น เช่น กลุ่มหญ้าและกลุ่มใบ เป็นต้น พนว่าระบบยังสามารถทำการคัดแยกสีโรคออกจากใบอุ่น ได้เป็นอย่างดี แต่ยังคงมีข้อจำกัดในกรณีที่มีกลุ่มหญ้าและกลุ่มใบภายในภาพเมื่อทำการคัดแยกสีโรคออกจากใบอุ่นจะปรากฏส่วนซ่องว่างเล็กๆ ระหว่างกลุ่มใบและกลุ่มหญ้าซึ่งมีสีคล้ำเข้มสีโรค เมื่อพิจารณารูปที่ 4.19 เป็นการคัดแยกสีโรคออกจากใบอุ่นที่สภาวะแสงสว่างมากพบว่าระบบสามารถทำการคัดแยกสีโรคออกจากใบอุ่นได้ อย่างมีประสิทธิภาพ เมื่อพิจารณารูปที่ 4.20 เป็นการคัดแยกสีโรคออกจากใบอุ่นที่สภาวะแสงสว่างปานกลางพบว่าระบบยังสามารถทำการคัดแยกสีโรคออกจากใบอุ่น ได้อย่างมีประสิทธิภาพ เช่นเดียวกับที่สภาวะแสงสว่างมาก เมื่อพิจารณาที่ 4.21 เป็นการพิจารณาคัดแยกสีโรคออกจากใบอุ่นที่สภาวะมีครีมพนว่าระบบสามารถทำการคัดแยกสีโรคออกจากใบอุ่น ได้อย่างมีประสิทธิภาพ เนื่องจากการปรับระดับสีและแสงให้อยู่ในบรรทัดฐานเดียวกันตามข้อมูลภาพอ้างอิง ดังนั้นข้อมูลในสภาวะมีครีมเมื่อทำการปรับสีและแสงตามข้อมูลภาพอ้างอิงเป็นผลให้ระบบสามารถทำการคัดแยกสีโรคออกจากใบอุ่น ได้เป็นอย่างดีและเมื่อพิจารณาที่ 4.22 เป็นการพิจารณาคัดแยกสีโรคออกจากใบอุ่นสภาวะที่มีหยดน้ำบนพื้นผิวใน พนว่าระบบสามารถทำการคัดแยกสีโรคออกจากใบอุ่น ได้อย่างมีประสิทธิภาพ โดยที่หยดน้ำบนพื้นผิวไม่ส่งผลกระทบใดๆ กัน การคัดแยกสีโรคของใบอุ่น

ดังนั้นจะเห็นว่าการคัดแยกสีโรคออกจากใบอุ่นจากการแบ่งกลุ่มสีโรคอุ่นด้วย MSOFM ร่วมกับ GA พนว่าระบบสามารถทำการคัดแยกสีโรคออกจากใบอุ่นในสภาวะที่หลากหลายได้อย่างมีประสิทธิภาพทั้งนี้เนื่องจากกระบวนการแบ่งกลุ่มสีโรคในอุ่นด้วย MSOFM ร่วมกับ GA นั้นสามารถแยกความแตกต่างระหว่างสีโรคและสีใบอุ่น ได้อย่างชัดเจน ซึ่งเป็นการจัดเตรียมข้อมูลในการฝึกสอน SVMs ที่มีประสิทธิภาพจึงเป็นผลให้ระบบสามารถทำการคัดแยกสีโรคออกจากใบอุ่น ได้เป็นอย่างดี

#### 4.7 สรุป

การคัดแยกสีโรคออกจากใบอุ่น โดยทำการแปลงปริภูมิสีจาก RGB เป็นปริภูมิสี CIE L\*a\*b และ CIE L\*u\*v และ YCbCr เพื่อช่วยลดผลกระทบของการเปลี่ยนแปลงของแสงและดึงความแตกต่างของคุณลักษณะเด่นระหว่างสีของโรคและสีของใบอุ่นให้นอกที่สุด โดยพิจารณาซึ่งปริภูมิสี a\* u\* และ Cr เนื่องจากสามารถให้ลักษณะความแตกต่างและการกระจายตัวระหว่าง

ข้อมูลสีโรคและสีใบอ่อนที่แตกต่างกันอย่างชัดเจนและเมื่อพิจารณาการแบ่งกลุ่มสีโรคออกจากใบอ่อนด้วย MSOFM ซึ่งเป็นกระบวนการแบ่งกลุ่มที่ไม่จำเป็นต้องมีการฝึกสอนหรือกำหนดจำนวนกลุ่มเริ่มต้นให้กับระบบ นอกจากนี้ยังสามารถปรับระดับความละเอียดในการแบ่งกลุ่มของข้อมูลภาพสีที่มีระดับความแตกต่างของสีใกล้เคียงกันได้ แต่จะต้องทำการกำหนดพารามิเตอร์ของ MSOFM ซึ่งพารามิเตอร์ของ MSOFM เป็นตัวกำหนดความสามารถในการปรับระดับความละเอียดในการแบ่งกลุ่มของข้อมูลภาพสีที่มีระดับความแตกต่างของสีใกล้เคียงกัน ดังนั้นในงานวิจัยนี้จึงพิจารณาการหาค่าที่เหมาะสมที่สุดด้วย GA ในการค้นหาค่าที่เหมาะสมที่สุดของพารามิเตอร์ MSOFM เพื่อให้ระบบสามารถแบ่งกลุ่มแยกความแตกต่างระหว่างสีโรคและสีใบอ่อนให้เหมาะสมในแต่ละภาพได้โดยอัตโนมัติ เมื่อทำการพิจารณาผลการคัดแยกสีโรคออกจากใบอ่อนด้วยข้อมูลกลุ่มสีโรค และไม่ใช้สีโรคที่ได้จากการแบ่งกลุ่มสีด้วย MSOFM ร่วมกับ GA มาทำการฝึกสอนให้ SVMs เป็นตัวคัดสินคัดแยกสีโรคออกจากใบอ่อนพบว่าระบบสามารถคัดแยกสีโรคออกจากใบอ่อนได้อย่างมีประสิทธิภาพ โดยพิจารณาตามลักษณะความซับซ้อนของใบอ่อน ได้แก่ ลักษณะใบที่มีความซับซ้อนน้อย อายุ ลักษณะใบที่มีความซับซ้อนปานกลาง และลักษณะใบที่มีความซับซ้อนมาก พบว่า ระบบยังคงสามารถทำการคัดแยกสีโรคออกจากใบอ่อนที่ความซับซ้อนน้อยและปานกลางในลักษณะการวางแผนด้วยเส้นทางของใบที่หลากหลายได้อย่างมีประสิทธิภาพ สำหรับการคัดแยกสีโรค ออกจากใบอ่อนที่ความซับซ้อนมากจะสามารถทำการคัดแยกได้อย่างมีประสิทธิภาพ แต่ยังคงมีในกรณีที่มีกลุ่มใบหรือกลุ่มหลุดที่มีลักษณะใบอ่อนภายในภาพเป็นผลให้มีการทำการคัดแยกสีโรค ออกจากใบอ่อนเป็นผลให้ปรากฏส่วนของช่องว่างเล็ก ๆ ที่อยู่ระหว่างกลุ่มใบ หรือ กลุ่มหลุด ซึ่งมีลักษณะสีคล้ายสีโรค นอกจากนี้ยังพิจารณาทำการทดสอบระบบการวินิจฉัยโรคในอ่อนเมื่อมีสภาวะของแสงสว่างที่แตกต่างกัน ได้แก่ สภาวะแสงสว่างมาก สภาวะแสงสว่างปานกลาง และสภาวะมืดครึ่ง พบร่วมกับระบบยังสามารถคัดแยกสีออกจากใบอ่อนที่สภาวะความแตกต่างของแสงสว่างได้อย่างมีประสิทธิภาพ อีกทั้งเมื่อทำการพิจารณาการคัดแยกสีโรคออกจากใบอ่อนสภาวะที่มีหยดน้ำบนพื้นผิวใบ พบร่วมกับระบบมีความสามารถในการคัดแยกสีโรคออกจากใบอ่อนได้อย่างมีประสิทธิภาพ โดยที่หยดน้ำบนพื้นผิวไม่ส่งผลกระทบใด ๆ กับการคัดแยกสีโรคของใบอ่อน